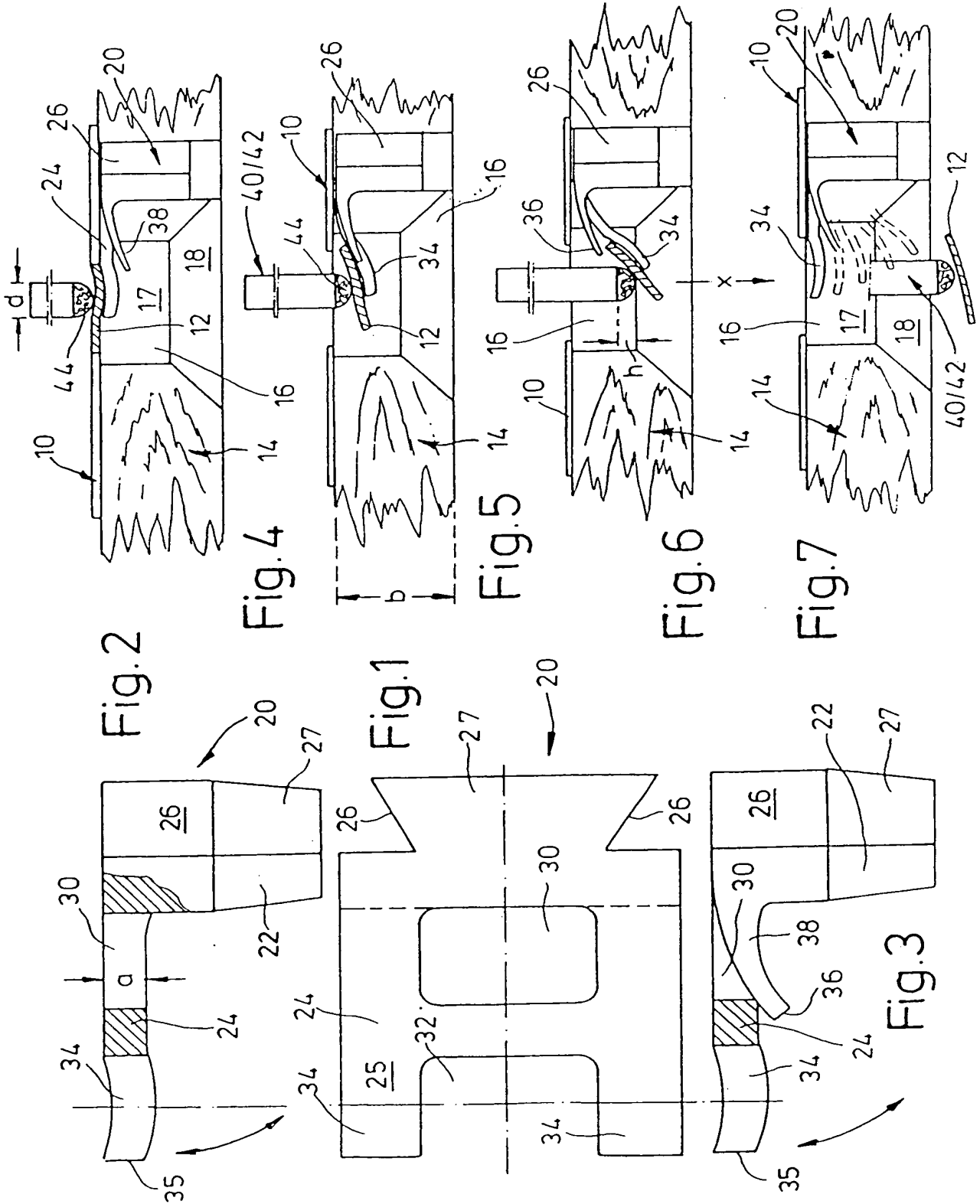
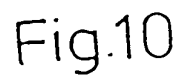
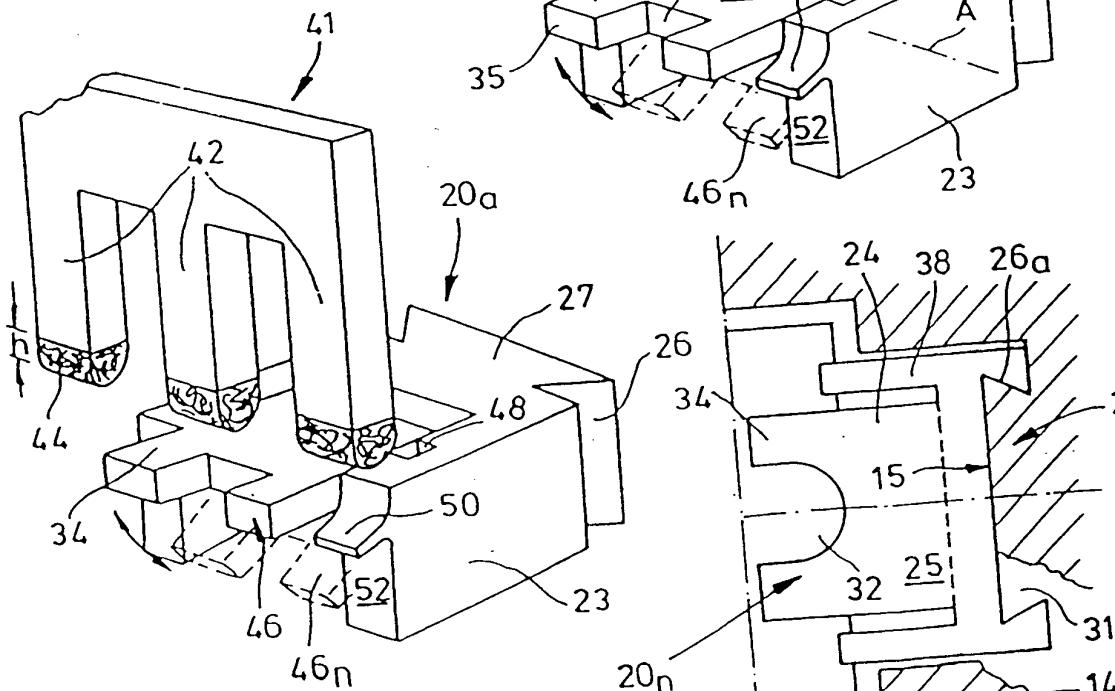
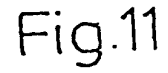
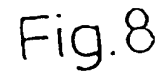
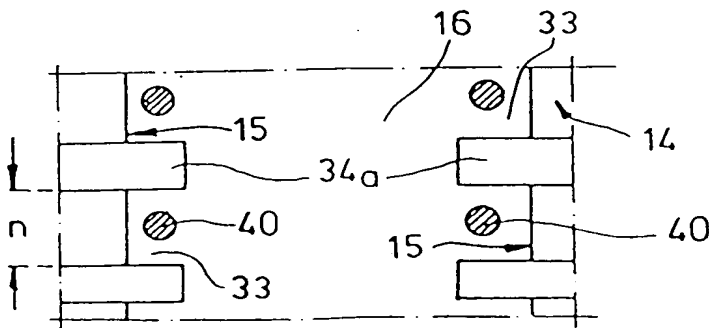
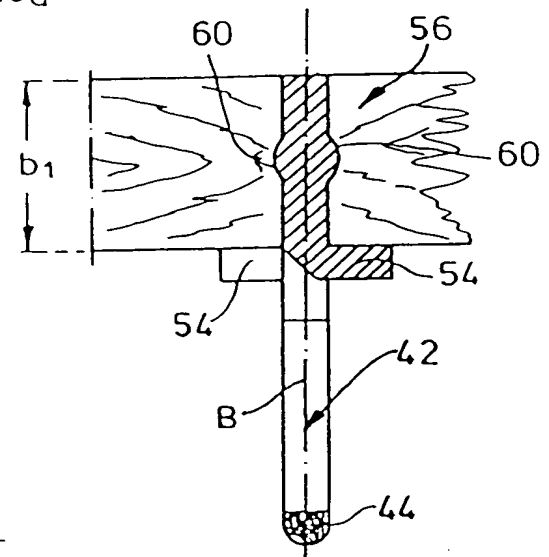
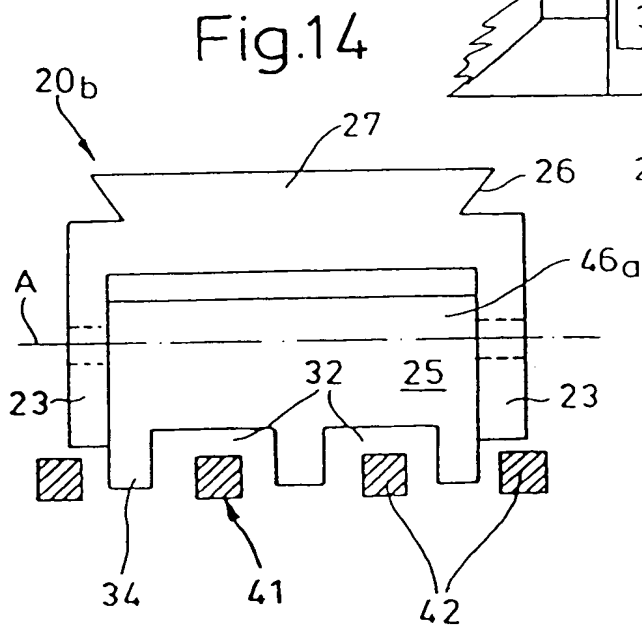
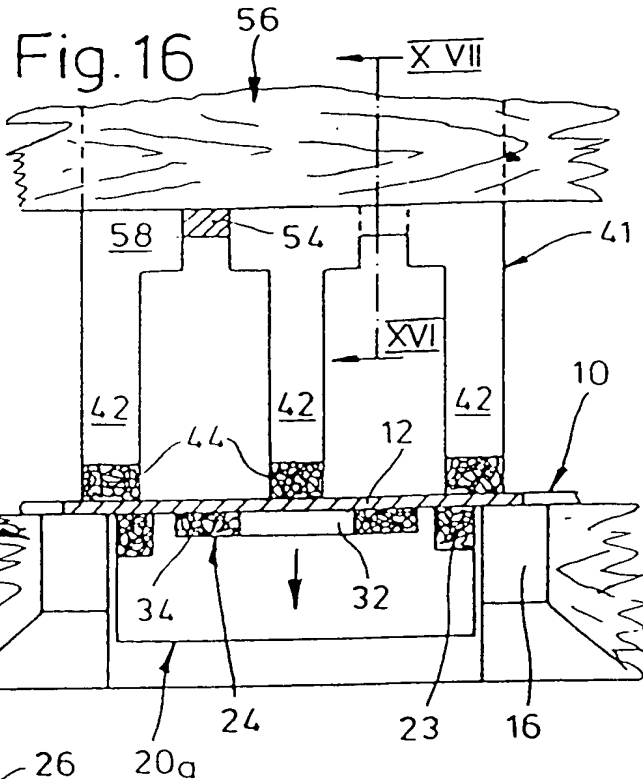
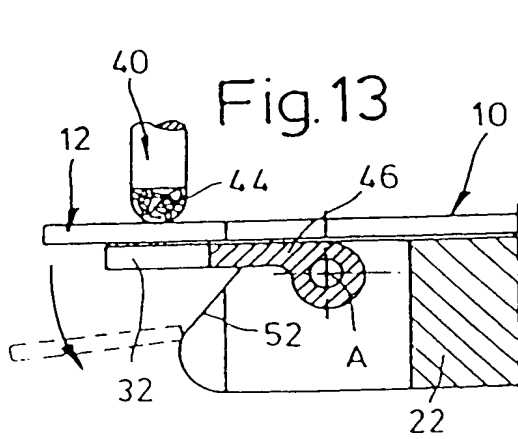


225  
96.5







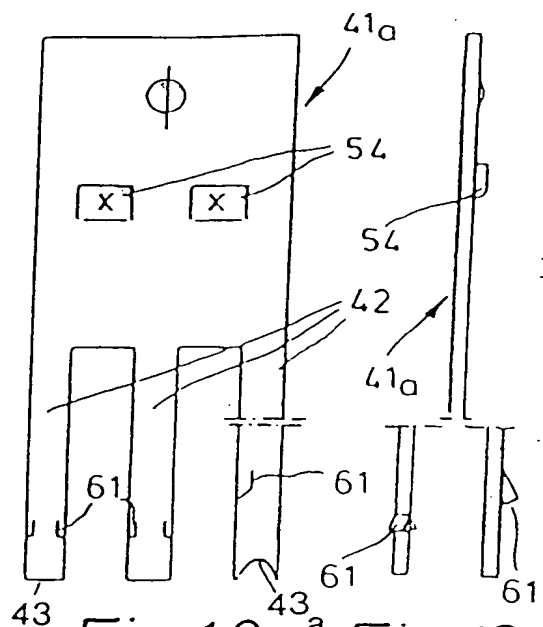


Fig. 18

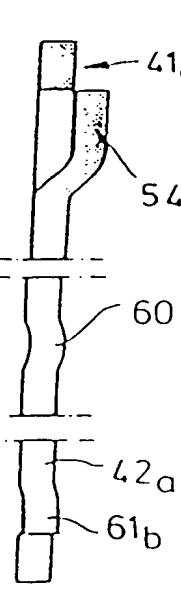


Fig. 19

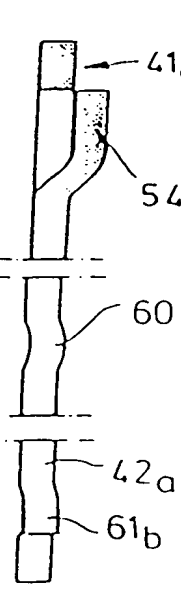


Fig. 20

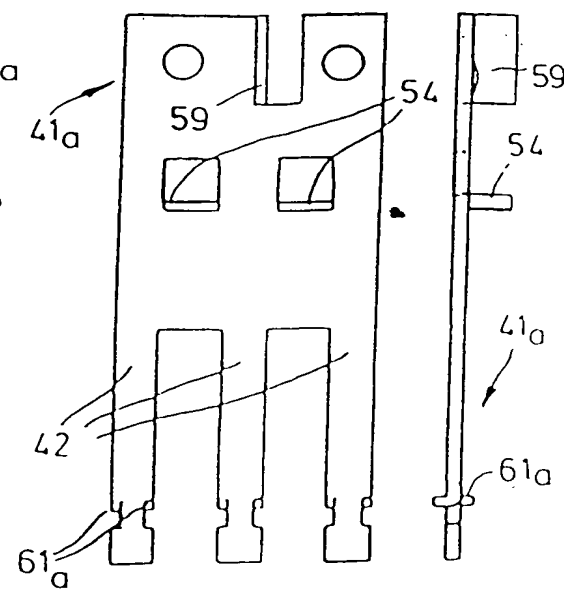


Fig. 21

Fig. 22

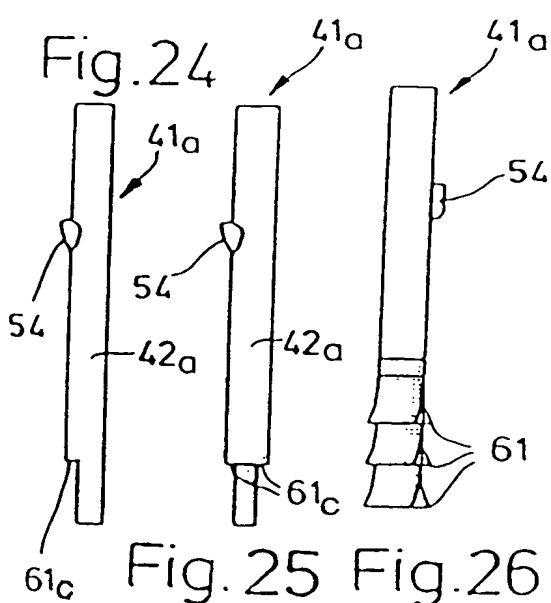


Fig. 24

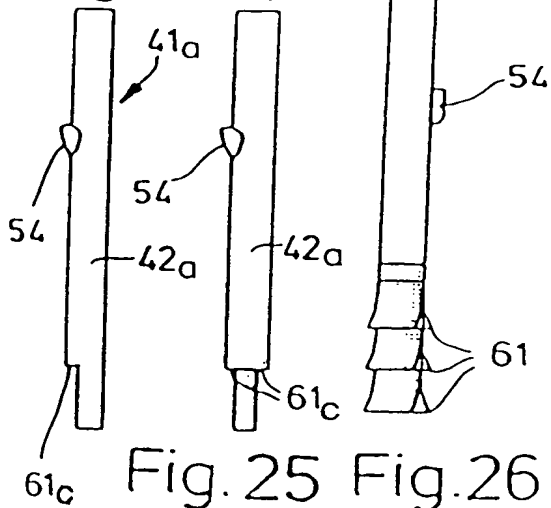


Fig. 25

Fig. 26

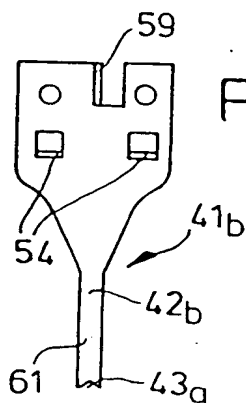


Fig. 23

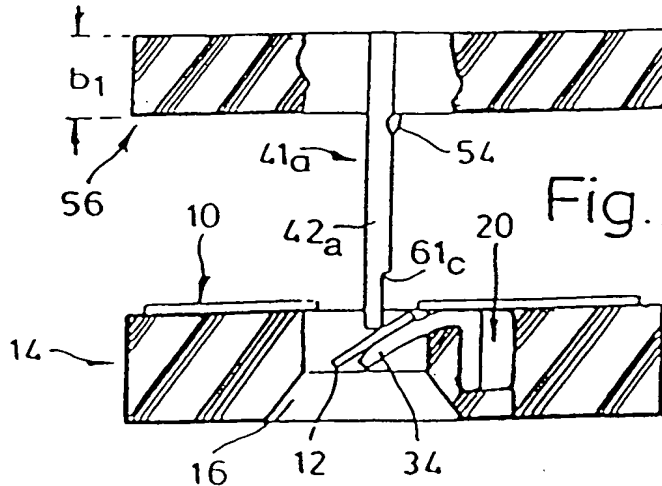


Fig. 27

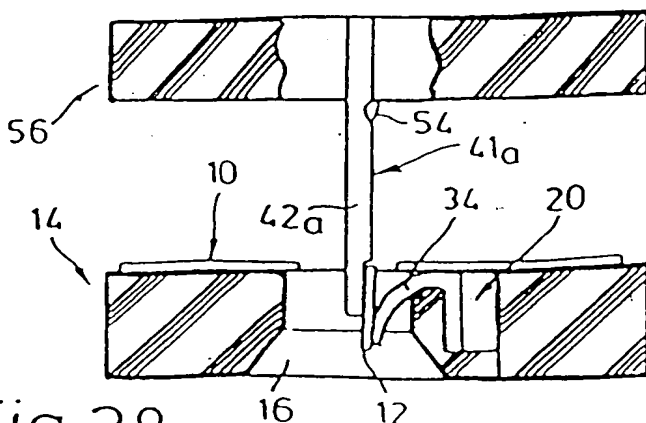


Fig. 28

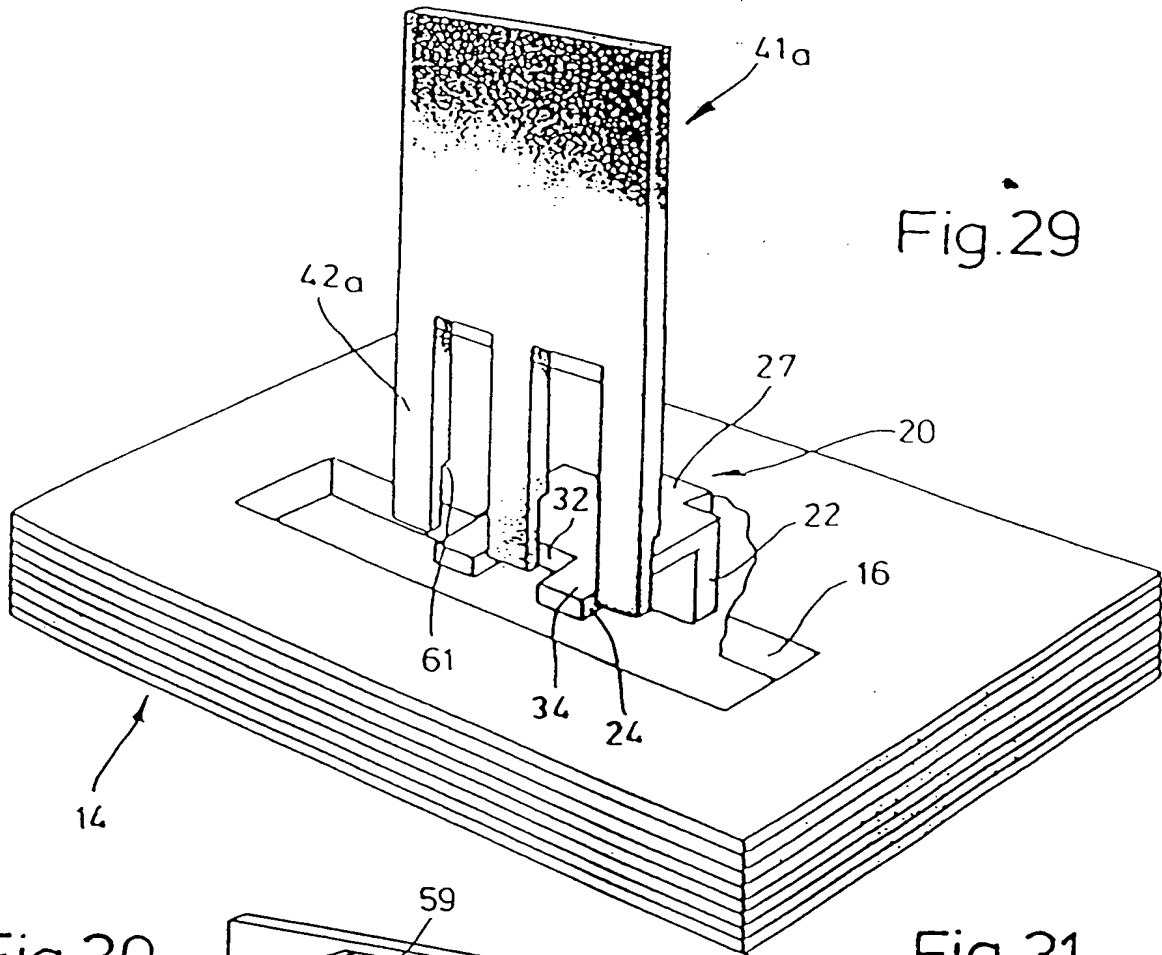


Fig. 29

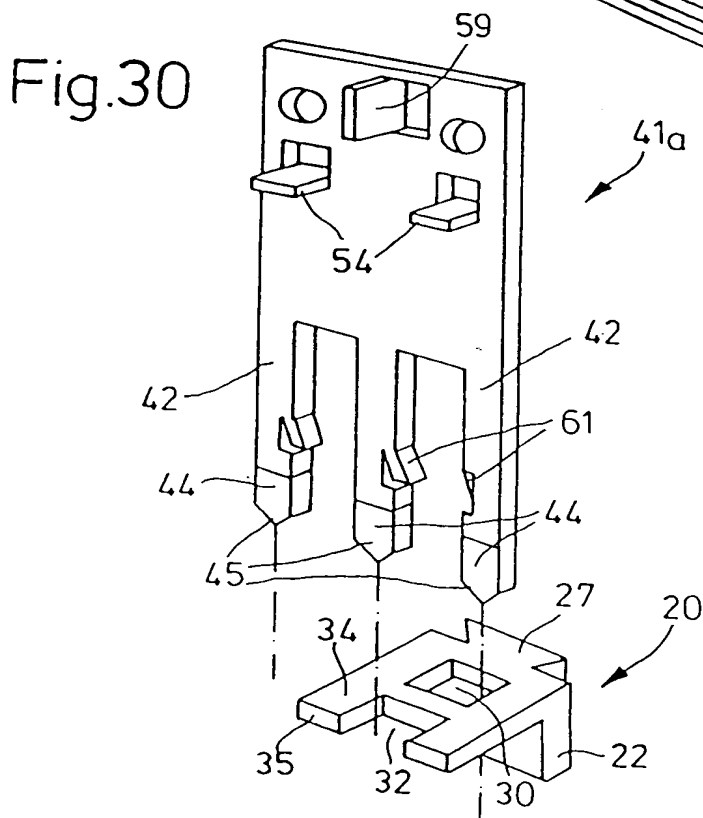


Fig. 30

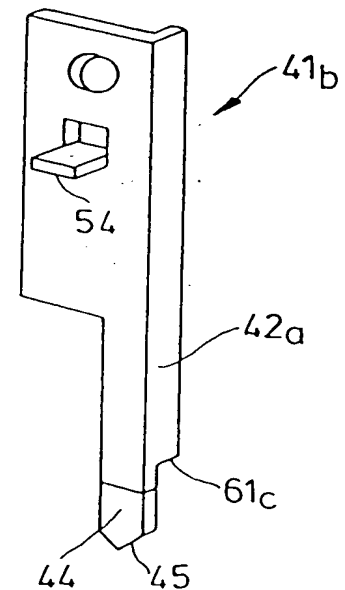


Fig. 31

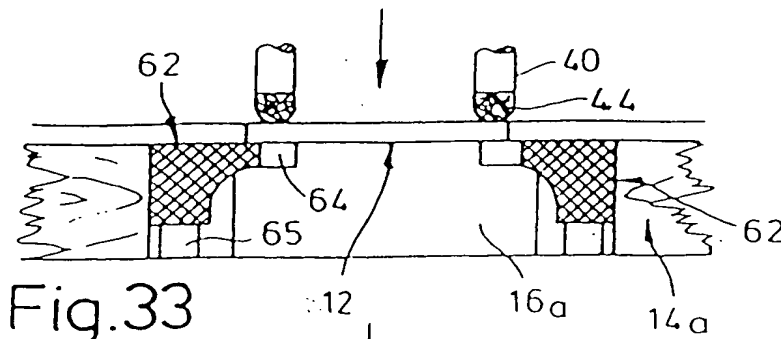


Fig. 33

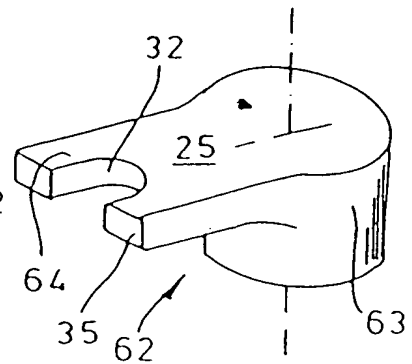


Fig. 32

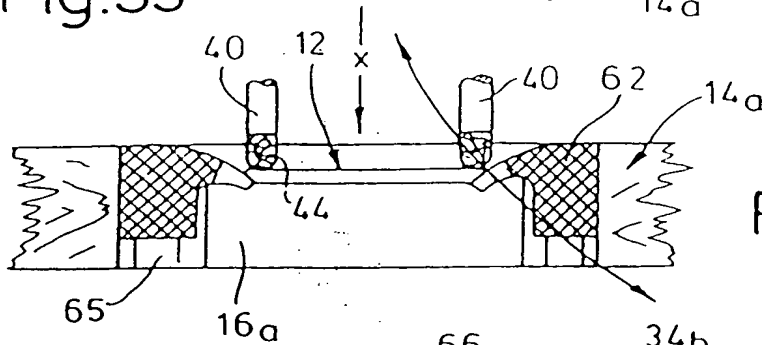


Fig. 34

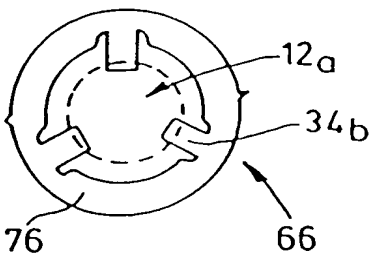


Fig. 35

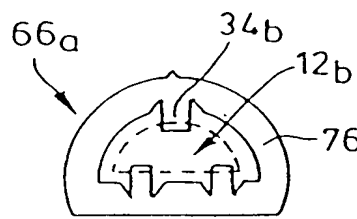


Fig. 36

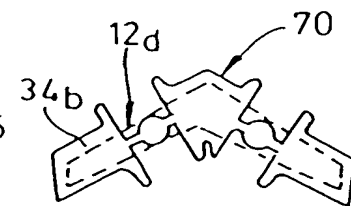


Fig. 37

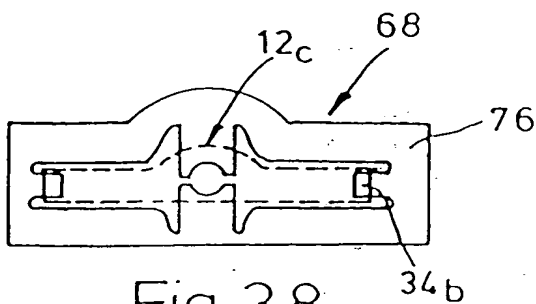


Fig. 38

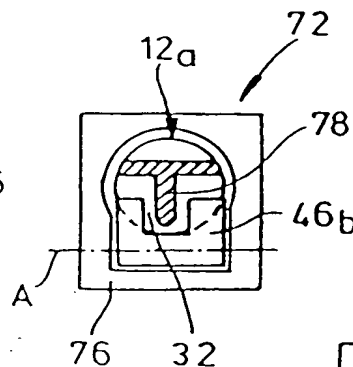


Fig. 39

Fig. 40

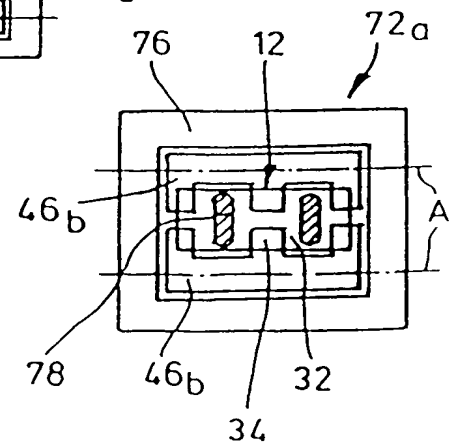


Fig.41

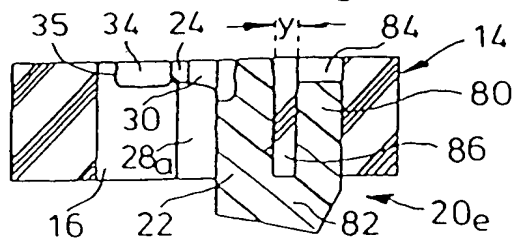


Fig.43

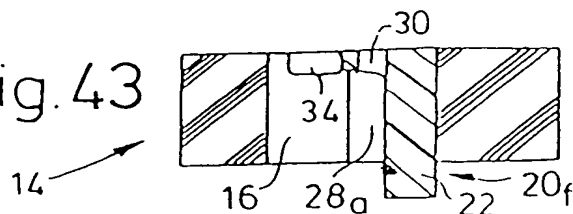


Fig.44

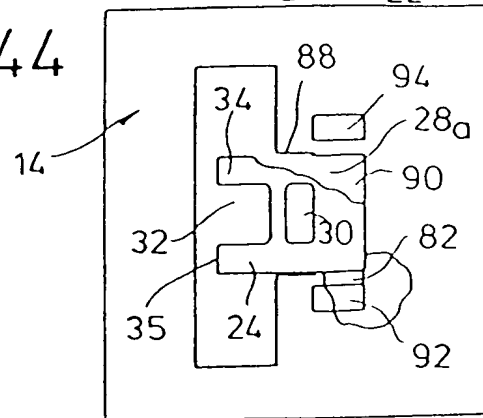


Fig.42

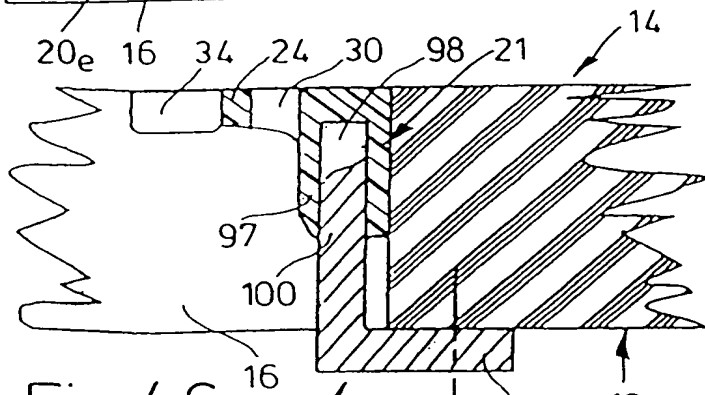
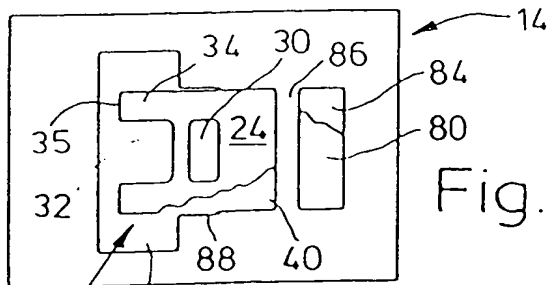


Fig.46

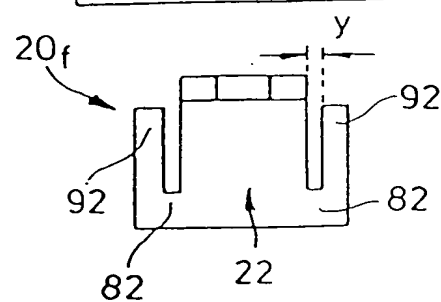


Fig.45

Fig.48

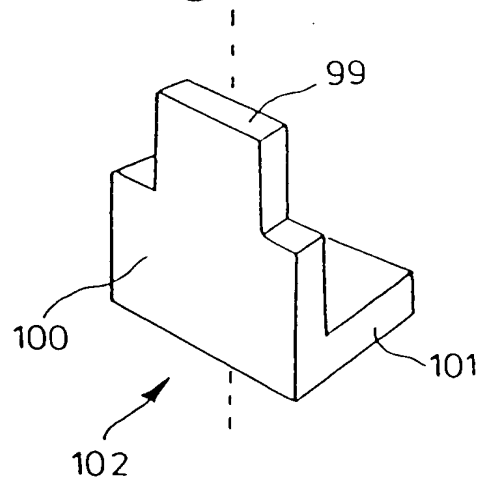


Fig.47

